

УДК 621.372.061

АНАЛИЗ РАЗЛИЧИЯ И ПОДОБИЯ СИГНАЛОВ В БАЗИСЕ СОБСТВЕННЫХ ВЕКТОРОВ ИХ КОВАРИАЦИОННЫХ ФУНКЦИЙ.

Андрієнко О.И.

Предложен критерий оценивания различия сигналов на базе ортогональных разложений тестового сигнала.

Вступление. Постановка задачи

Анализ подобия и различия информативных сигналов имеет большое значение при решении задач диагностики состояния системы (биологической, технической и т.д.) [1,2]. Такую задачу часто решают в метрических системах [3] при помощи функций метрического подобия, для создания которых должны выполняться условия

$$\begin{aligned} & \Pi(\overline{X_i}, \overline{X_j}) \geq 0; \quad \Pi(\overline{X_i}, \overline{X_j}) = \Pi(\overline{X_j}, \overline{X_i}); \quad \Pi(\overline{X_i}, \overline{X_j}) \leq \Pi(\overline{X_i}, \overline{X_k}) + \Pi(\overline{X_k}, \overline{X_j}), \\ & \text{а } \Pi(\overline{X_i}, \overline{X_i}) = \max_{ij} \Pi(\overline{X_i}, \overline{X_j}) \text{ в случае оценки подобия и} \\ & \Pi(\overline{X_i}, \overline{X_i}) = 0 \end{aligned} \tag{1}$$

в случае оценки различия, $\overline{X_k}$ – вектор значений отсчетов сигналов.

Анализ различия и подобия сигналов

Предлагается критерий оценивания различия сигналов на базе ортогональных разложений тестового сигнала для реализации условия (1). В качестве иллюстрации предлагаемой процедуры оценки отличий двух сигналов (эталонного и исследуемого), рассмотрим пульсограммы $X_{\text{эт.}}(t)$ и $X_{\text{иссл.}}(t)$ - рис. 1а и 1б, соответственно. Для эталонной пульсограммы (рис. 1а) была вычислена ковариационная матрица как математическое ожидание произведений векторов отсчетов на периодах эталона:

$$\overline{\overline{\text{Cov}}} = M \left\{ \overline{X_{\text{эм}}^{(k)}} \overline{X_{\text{эм}}^{(t)}} \right\} \approx \frac{1}{K} \sum_{k=1}^K \overline{X_{\text{эм}}^{(k)}} \overline{X_{\text{эм}}^{(k)T}} \tag{2}$$

где $\overline{X_{\text{эм}}} = [X_1^{(k)}, \dots, X_N^{(k)}]^T$; t –транспонирование, k –номер периода; K –число периодов, участвующих в оценке ковариационной матрицы; N –чис-

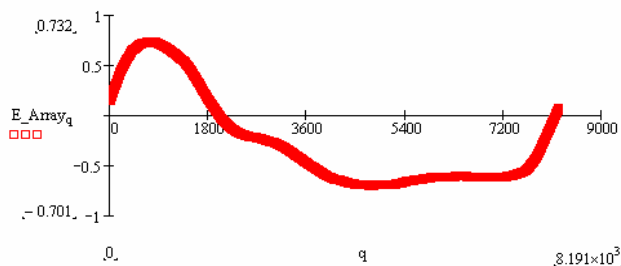


Рис. 1а. Эталонная пульсограмма

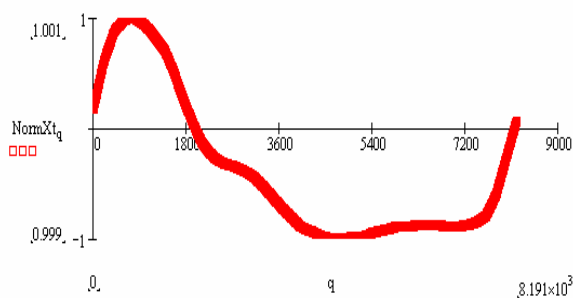


Рис. 1б. Вид пульсограммы после курения

ло отсчетов на период. Вычислив диапазоны отсчетов $D_{X_{эм}} = M\{(x_i - m_i)^2\}$, можно по диагональным элементам ковариационной матрицы восстановить средние значения отсчетов, поскольку каждый i -й диагональный элемент матрицы (2) имеет вид $Cov_{i_m} = m_{i_{эм}}^2 + D_{эм}$.

Ковариационная матрица является положительно полуопределенной [4], т.е. ее собственные значения λ_i - решения уравнения для определителя

$$\left| \overline{Cov} - \lambda \overline{E} \right|_{\lambda=\lambda_i} = 0, \quad (3)$$

являются неотрицательными числами (здесь \overline{E} - единичная матрица). Тогда ковариационная матрица может быть разложена по собственным значениям λ_i и собственным векторам $\overline{\pi}_i$ в виде

$$\overline{Cov} = \overline{P} \overline{\lambda} \overline{P}^t, \quad (4)$$

где \overline{P} - матрица собственных векторов, т.е. её i -я строка которой есть вектор $\overline{\pi}_i$; $\overline{\lambda}$ - диагональная матрица собственных значений, а собственный вектор $\overline{\pi}_i$ есть решение матричного уравнения

$$\left[\overline{Cov} - \lambda_i \overline{E} \right] \overline{\pi}_i = \overline{0}, \quad (5)$$

где $\overline{0}$ - столбец нулей. Уравнение (4) может быть представлено в более удобной для обработки сигнала форме

$$\overline{Cov} = \sum_{i=1}^N \lambda_i \overline{\pi}_i \overline{\pi}_i^t, \quad (6)$$

откуда следует, что квадратными матрицами $\overline{\pi}_i \cdot \overline{\pi}_i^t$ можно пренебречь, если λ_i мало, т.е. сумму в (5) ограничить числом $M \ll N$. После такого ограничения матрица $\overline{\lambda}_{эм}$ в (4) будет иметь порядок M , а матрицы $\overline{P}_{эм}$ и $\overline{P}_{эм}^t$ размерности $N \times M$ и $M \times N$ соответственно.

Для сравниваемого с эталоном сигнала \overline{X}_{cp} построим ковариационную матрицу \overline{Cov}_{cp} , учитывая, что из (4) следует $\overline{P}_{эм}^t \overline{Cov}_{эм} \overline{P}_{эм} = \overline{\lambda}_{эм}$, поскольку $\overline{P}^t \overline{P} = \overline{P} \overline{P}^t = \overline{E}$. Тогда для ковариационной матрицы сравниваемого с эталоном сигнала $\overline{P}_{эм}^t \overline{Cov}_{cp} \overline{P}_{эм} = \overline{\lambda}_{cp}$, где $\overline{\lambda}_{cp}$ уже не является диагональной матрицей и для нее разложение, подобное (6), имеет вид

$$\overline{Cov}_{cp} = \overline{P}_{эм} \overline{\lambda}_{cp} \overline{P}_{эм}^t = \sum_{i=1}^N \lambda_{i_{cp}} \overline{\pi}_{i_{эм}} \overline{\pi}_{i_{эм}}^t + \sum_{\substack{i \neq j \\ i \neq j}}^N \sum_{i \neq j}^N \lambda_{ij_{cp}} \overline{\pi}_{i_{эм}} \overline{\pi}_{j_{эм}}^t, \text{ где } \lambda_{ij_{cp}} - \text{недиагональ-}$$

ные элементы, которые появились вследствие отличий сигналов $\overline{X}_{эм}$ и \overline{X}_{cp} . Т.е., поскольку элементы собственных векторов велики, но меньше единицы вследствие нормирования модулем соответствующего собственного ве-

ктора, степень отклонения матрицы $\overline{\overline{Cov_{cp}}}$ и $\overline{\overline{Cov_{эм}}}$ (как и степень различия самих исследуемых сигналов) будут определяться величинами λ_i и λ_{ij} .

Пусть, например, с достаточной точностью эталонный сигнал определяется только одним значением λ_N (обычное явление для усредненных пульсограмм). Тогда мерой различия двух сигналов может служить “собственный” коэффициент

$$K_\lambda = \frac{\sqrt{\sum_{i \neq N} \lambda_{i_{cp}}^2 + \sum_i \sum_j \lambda_{ij_{cp}}^2}}{\lambda_{N_{cp}}}. \quad \text{При наличии в эталонном}$$

сигнале m существенных отличных от нуля собственных значений $\lambda_{N_{эт.}}$,

$$\text{аналогичной оценкой может служить } K_\lambda = \frac{\sqrt{\sum_{i \neq N} \lambda_{i_{cp}}^2 + \sum_i \sum_j \lambda_{ij_{cp}}^2}}{\sqrt{\lambda_{N1_{cp}}^2 + \dots + \lambda_{Nm_{cp}}^2}}.$$

Выводы

Для эталонного сигнала (рис. 1а) $K_\lambda = 0$, тогда как для исследуемого сигнала (рис. 1б) $K_\lambda = 0,552551$, т.е. K_λ существенно отличаются. Это позволяет сделать вывод, что предложенный критерий можно использовать в качестве меры различия эталонного и обрабатываемого сигналов.

Литература

1. Рыбин А.И. Нормализация дискретных ортогональных преобразований тестовым сигналом // Радиоэлектроника.- 1999. №7. с.39-46. (Изв. высш. учебн. заведений).
2. Рибін О.І., Шарпан О.Б. Діагностичні можливості процедури нормалізації ортогональних функцій при аналізі пульсограм // Вісник ЖДКТУ. Технічні науки. – 2004. – т.1 - №4.- с.144-149.
3. Абакумов В.Г., Рибін О.І., Сватош Й. Біомедичні сигнали. Генезис, обробка, моніторинг. – К: Норапрінт, 2001. – 516с.

<p>Андрієнко О.И. Аналіз різниці і подібності сигналів в базисі власних векторів їх коваріаційних функцій Запропоновано критерій оцінювання різниці сигналів на базі ортогональних розкладень тестового сигналу.</p>	<p>Andrienko O.I. The analysis of distinction and similarity of signals in basis of own vectors them of covariation functions. Criterion estimate distinctions of signals on base ortigonahional decomposition of a test signal is offered.</p>
---	--